DOI: 10.13870/j.cnki.stbcxb.2025.05.019

CSTR: 32310.14.stbcxb.2025.05.019

褚保森,张帅发,刘峰,等.藏东南干旱河谷土壤有机碳组分空间分布及稳定性特征[J].水土保持学报,2025,39(5)

CHU Baosen, ZHANG Shuaifa, LIU Feng, et al. Spatial distribution and stability characteristics of soil organic carbon fractions in arid valleys of southeastern Xizang[J]. Journal of Soil and Water Conservation, 2025, 39(5)

藏东南干旱河谷土壤有机碳组分空间分布及稳定性特征

褚保森^{1,2},张帅发^{1,2},刘峰^{1,2},张鹏程^{1,2},张智勇^{1,2},陆子淳^{1,2},周金星^{1,2,3} (1.北京林业大学水土保持学院,云南建水生态站,北京 100083; 2.北京林业大学教育部林业生态工程研究中心, 北京 100083; 3.北京林业大学林木资源高效生产全国重点实验室,北京 100083)

摘 要:[目的] 探究干旱河谷区土壤有机碳组分及其稳定性变化特征,明确环境因子与土壤有机碳组分及其稳定性之间的关系,为生态脆弱区固碳减排的系统管理提供依据。[方法] 选择西藏波密干旱河谷区不同坡向(阴坡、阳坡、半阴坡、半阳坡)、坡位(坡下、坡中、坡上)0~30 cm 土壤为研究对象,测定土壤理化性质、土壤有机碳及其组分。[结果]1) 阴坡土壤有机碳质量分数为11.37~34.74 g/kg,相较于半阴坡、半阳坡、阳坡分别提高55%、138%、292%。土壤颗粒有机碳、易氧化有机碳、矿质结合态有机碳、可溶性有机碳质量分数随坡向均表现出与有机碳变化一致的趋势。阴坡土壤有机碳稳定性显著高于其他坡向,为54.3%~62.1%,相较于半阴坡、半阳坡和阳坡分别提高6%、12%和30%。2) 土壤有机碳质量分数沿坡位分布为坡下(17.29 g/kg) > 坡中(13.42 g/kg) > 坡上(9.73 g/kg),土壤颗粒有机碳、易氧化有机碳、矿质结合态有机碳、可溶性有机碳质量分数在坡位梯度上随坡位升高而降低。各坡位土壤有机碳稳定性大小为坡下(38.1%~62.1%) > 坡中(36.9%~59.9%) > 坡上(37.6%~58.7%)。3) 影响藏东南干旱河谷区土壤有机碳组分及其稳定性的主要环境因子为坡向、植被盖度、土壤全氮、碱解氮、全磷及黏粒质量分数。[结论] 藏东南干旱河谷区土壤有机碳组分及其稳定性在不同坡向和坡位上存在显著差异,环境因子中起主要调控作用的为坡向、植被盖度、土壤全氮、碱解氮、全磷和黏粒质量分数,研究结果可为藏东南干旱河谷区 SOC的精准评估和土壤碳库调控提供参考。

关键词:坡向;坡位;土壤有机碳;有机碳稳定性

中图分类号:S153.6 文献标识码:A

Spatial Distribution and Stability Characteristics of Soil Organic Carbon Fractions in Arid Valleys of Southeastern Xizang

CHU Baosen^{1,2}, ZHANG Shuaifa^{1,2}, LIU Feng^{1,2}, ZHANG Pengcheng^{1,2}, ZHANG Zhiyong^{1,2}, LU Zichun^{1,2}, ZHOU Jinxing^{1,2,3}

(1.Jianshui Research Station, School of Soil and Water Conservation, Beijing Forestry University, Beijing 100083, China; 2.Engineering Research Center of Forestry Ecological Engineering, Ministry of Education, Beijing Forestry University, Beijing 100083, China; 3.State Key Laboratory of Efficient Production of Forest Resources, Beijing Forestry University, Beijing 100083, China)

Abstract: [**Objective**] This study aims to investigate the variation characteristics of soil organic carbon (SOC) fractions and their stability in arid valleys, clarify the relationships between environmental factors and SOC fractions as well as stability, and provide a scientific basis for systematic carbon sequestration and emission reduction management in ecologically fragile areas. [**Methods**] Soil samples (0—30 cm depth) were collected from different slope aspects (shady, sunny, semi-shady, and semi-sunny slopes) and slope positions (lower, middle, and upper) in the arid valleys of Bomi, Tibet. Soil physicochemical properties, SOC contents, and its fractions were measured. [**Results**] 1) The SOC content on shady slopes ranged from 11.37 to 34.74 g/kg,

收稿日期:2025-01-26 修回日期:2025-03-06 录用日期:2025-03-21

资助项目:国家重点研发计划项目(2022YFF1302900);北京林业大学"5·5工程"科研创新团队项目(BLRC2023B09)

第一作者:褚保森(2000—),男,硕士研究生,主要从事土壤碳循环研究。E-mail:18734709122@163.com

通信作者:周金星(1972-),男,博士,教授,主要从事水土保持与生态修复研究。E-mail;zjx9277@126.com

representing increases of 55%, 138%, and 292% compared with semi-shady, semi-sunny, and sunny slopes, respectively. The contents of particulate organic carbon (POC), easily oxidizable organic carbon (EOC), mineral-associated organic carbon (MAOC), and dissolved organic carbon (DOC) all exhibited consistent variation trends with SOC across different slope aspects. SOC stability was the highest on shady slopes (54.3%-62.1%), exceeding that of semi-shady, semi-sunny, and sunny slopes by 6%, 12%, and 30%, respectively. 2) Along slope positions, SOC content decreased in the order: lower slope (17.29 g/kg) > middle slope (13.42 g/kg) > upper slope (9.73 g/kg). Similarly, POC, EOC, MAOC, and DOC contents all decreased with increasing slope position. The stability of SOC across different slope positions followed the pattern: lower slope (38.1%-62.1%) > middle slope (36.9%-59.9%) > upper slope (37.6%-58.7%). 3) The main environmental factors influencing SOC fractions and their stability in the arid valleys of southeastern Tibet were slope aspect, vegetation coverage, soil total nitrogen (TN), alkalihydrolyzable nitrogen (AN), total phosphorus (TP), and clay content. [Conclusion] Significant differences exist in SOC fractions and their stability across different slope aspects and positions in the arid valleys of southeastern Tibet. The key regulatory factors include slope aspect, vegetation coverage, total nitrogen, alkali-hydrolyzable nitrogen, total phosphorus, and clay content. These findings provide valuable references for accurate SOC assessment and soil carbon pool management in arid valleys of southeastern Tibet.

Keywords: slope aspect; slope position; soil organic carbon; organic carbon stability

Received: 2025-01-26 **Revised**: 2025-03-06 **Accepted**: 2025-03-21

土壤碳库是陆地生态系统中最大的碳储库,约80%的陆地碳储存在土壤中。即使碳储量发生微小变化,也对全球气候和碳循环产生深远影响。其中,土壤有机碳(SOC)是动植物残体和腐殖质经微生物分解后形成的含碳有机物,是衡量土壤质量的重要指标,对全球碳循环的稳定和气候调节起着关键作用^[1]。土壤有机碳可分为活性有机碳(LOC)和惰性有机碳(ROC)。活性有机碳尽管质量分数较少,却是最活跃的成分,能准确反映土壤养分等变化^[2];而惰性有机碳的分解周期长,稳定性强,惰性有机碳质量分数的增加有助于增强土壤有机碳的积累,矿质结合有机碳(MAOC)作为惰性有机碳,对土壤中有机碳的转化起到抑制作用,能直接影响土壤有机碳储量,对土壤有机碳的稳定性有着重要作用^[3]。

土壤 SOC 稳定性是指在一定条件下 SOC 抵抗 外界因素干扰保持自身性质的能力,是评估土壤碳 库能否持久存在的关键指标。有研究^[4]表明,植被是 土壤有机碳稳定性的主要驱动因素,其通过群落特 征和凋落物输入量的改变,引起土壤理化性质发生 变化,进而对土壤有机碳稳定性产生影响;王珍等^[5] 研究发现,海拔对土壤有机碳稳定性有显著贡献,其 通过影响水热条件的再分配,从而影响植被分布、土 壤理化性质和微生物活性,进而影响土壤有机碳稳 定性。但对坡面尺度下土壤有机碳稳定性研究缺乏 系统性研究。

土壤有机碳质量分数及其分布受地形、土壤母

质等多种环境因子的综合影响。其中,地形是影响土壤有机碳积累的主要因素。一方面地形通过水热条件再分配影响凋落物的产生与分解,进而影响有机碳质量分数;另一方面,地形通过影响土壤侵蚀和土壤养分等因素影响土壤有机碳质量分数。坡位和坡向作为关键地形因子,通过影响水热条件的重新分配形成不同的坡面小气候,改变土壤理化性质、微生物群落、植被类型及凋落物数量,导致不同坡向坡位土壤有机碳质量分数分布存在显著差异[6]。王艳丹等[7]研究发现,坡位显著影响土壤有机碳及其组分的分布,呈坡上>坡下>坡中的趋势,有机碳的损失主要发生在坡中位置。卫玮等[8]研究发现,土壤有机碳密度随坡位下降而增加,且不同坡位间差异显著;唐鹏辉等[9]在秦岭南坡的研究发现,阴坡土壤有机碳及其组分质量分数均大于阳坡。

藏东南干旱河谷区是典型的生态脆弱区,具有干旱少雨、土壤贫瘠和植被稀疏等特点^[10]。该地区独特的地理和气候条件造就其土壤有机碳汇有机质输入量低、强矿物保护作用和空间异质性高的特点^[11]。现有研究^[12]多集中于土壤有机碳对海拔、植被类型和土地利用方式的响应,鲜有对土壤有机碳组分及其稳定性在不同坡向和坡位下的空间分布规律及其影响因素的研究。为探究藏东南干旱河谷区土壤有机碳稳定性在坡面尺度下的变化特征,本研究选取干旱河谷区不同坡向(阴坡、阳坡、半阴坡、半阳坡)和不同坡位(坡上、坡中、坡下)的不同深度土

壤(0~10、10~20、20~30 cm)为研究对象,旨在探讨不同坡向和坡位对土壤有机碳组分及其稳定性的影响,为该区域土壤有机碳储量和土壤固碳潜力的精准评估提供理论支持。

1 材料与方法

1.1 研究区概况

研究区位于西藏林芝市波密县境玉普乡(29°21′~30°40′N,94°00′~96°30′E),地形为高山峡谷,年平均气温8.5℃,年平均日照时间1563h,平均海拔2900 m,最低月平均气温4℃,最暖月平均气温17℃。年平均蒸发量1646 mm,年降雨量约420mm,降雨集中在6—10月,年无霜期176 d。具有明显的季节性干旱和降水少、蒸散率高的干旱河谷气候特征。土壤类型多样,主要以棕壤、黑毡土和山地草甸土为主。土层浅薄,厚度为0.4~1.0 m,砾石质量分数高。优势植物主要有高山 栎(Quercus semecarpifolia)、高 山 松(Pinus densata)、山 杨(Populus davidiana)、黄刺玫(Rosa xanthina)、藏边栒子(Cotoneaster affinis)、波密小檗(Berberis gyalaica)等。

1.2 样地设置与样品采集

土壤样品于2023年9—10月进行采集。研究选取阴坡、阳坡、半阴坡、半阳坡4个坡向,各坡向坡长

相近,约800 m。根据实际地形和BRUBAKER等^[13]划分坡面的方法将研究的坡位分3个部分(坡上、坡中、坡下),且各坡向的相同坡位处在同一等高线上(表1)。不同坡位设置3个10m×10m样地,去除地表枯落物后,按五点取样法混合采集0~10、10~20、20~30 cm 共3个土层,共计样品108份,剔除石块、根系和动植物残体等,过2mm筛,用于测定土壤理化性质和碳组分。土壤基本理化性质见表2。

表1 样地基本信息

Table 1 Basic information of sampling sites

坡向	坡位	坡度/(°)	坡面 形态	植被覆盖度/%	植被 类型
	坡下	13.26~14.37	凹坡	89.7~91.5	乔木
阴坡	坡中	$23.47 \sim 24.50$	凹坡	83.2~84.7	乔木
	坡上	$26.73 \sim 27.52$	凹坡	$71.3 \sim 74.6$	乔木
	坡下	16.46~19.39	凹坡	68.6~71.4	灌丛
阳坡	坡中	$24.55 \sim 26.85$	凹坡	$61.4 \sim 62.5$	灌丛
	坡上	$27.41 \sim 29.64$	凹坡	$58.3 \sim 60.2$	灌丛
	坡下	$11.31 \sim 12.17$	凹坡	$76.5 \sim 77.4$	灌丛
半阴坡	坡中	$23.63 \sim 25.26$	凹坡	$68.1 \sim 69.3$	乔木
	坡上	$27.43 \sim 28.38$	凹坡	$61.2 \sim 63.7$	乔木
	坡下	22.25~23.19	凸坡	61.0~64.0	灌丛
半阳坡	坡中	$17.43 \sim 18.25$	凸坡	$66.3 \sim 68.9$	乔木
	坡上	$17.91 \sim 19.27$	凸坡	$70.5 \sim 74.3$	乔木

表 2 土壤理化性质

Table 2 Soil physicochemical properties

Table 2 Son physicochemical properties									
坡位	土层深	全氮/	全磷/	速效磷/	碱解氮/	На	黏粒/%	粉粒/%	砂粒/%
~ ,	度/cm	(g•kg ⁻¹)	$(g \bullet kg^{-1})$	(mg•kg ⁻¹)	(mg•kg ⁻¹)	P	4H-1227 7 0	7/3 /122 / 7 0	
	0~.10	$2.15\pm$	$0.21 \pm$	$6.12\pm$	160 21 4	$7.36 \pm$	0B	$25.39 \pm$	$74.61 \pm$
本 下	010	0.01A	0.02Aa	0.30B	100.51A	0.02Bb		0.51B	0.51A
	10~20	$1.36\pm$	$0.17\pm$	$4.85 \pm$	$95.18 \pm$	$7.59\pm$	$0.88 \pm$	$48.34\pm$	$44.91 \pm$
火 「		0.03A	0.01Aa	0.66B	2.36A	0.01Bb	0.02B	0.74B	0.87A
	20~30	$1.14\pm$	0.17Aa	$6.79\pm$	$85.16\pm$	$7.78\pm$	$0.73 \pm$	$57.19\pm$	$36.93 \pm$
		0.02A		0.64B	2.36A	0.04Bb	0.17B	0.59B	0.91A
坡中	0~10	$4.46\pm$	0.20 A b	$7.71\pm$	$308.92 \pm$	$7.31 \pm$	ΛD	$16.85 \pm$	$83.15 \pm$
		0.01A	0.29Ab	0.16B	30.70A	0.02Bab	ОВ	0.45B	0.45A
	10~20	$4.40\pm$	0.31Ab	$7.81\pm$	$312.26\pm$	$7.27 \pm$	ОВ	$61.25 \pm$	$38.75 \pm$
		0.06A		0.04B	25.98A	0.03Bab		1.00B	1.00A
	20~30	$4.25\pm$	0.28Ab	$7.21\pm$	$294.15 \pm$	$7.23\pm$	$1.86\pm$	$72.08 \pm$	$26.06 \pm$
		0.05A		0.09B	23.96A	0.03Bab	0.06B	1.32B	1.38A
坡上	0 10	$3.47\pm$	0.40.41	$3.76\pm$	$255.49 \pm$	$7.43\pm$	ΛD	$2.92 \pm$	97.08±
	0~10	0.07A	0.49Ab	0.52B	11.81A	0.02Ba	OD	0.09B	0.09A
	10~20	$3.58\pm$	0.3Ab	$7.36\pm$	$252.15 \pm$	$7.76\pm$	$0.02 \pm$	$25.09\pm$	$74.89 \pm$
		0.04A		0.36B	21.25A	0.05Ba	$0.019~\mathrm{B}$	1.67B	1.69A
	20~30	$3.16\pm$	0.04.4.1	$6.94\pm$	$245.47\pm$	$7.65 \pm$	$2.87\pm$	$93.06 \pm$	$4.07\pm$
		0.09A	U.Z4AD	0.27B	2.36A	0.04Ba	$0.082~\mathrm{B}$	1.94B	2.03A
坡下	0 10	1.26±	0.38±	$6.41 \pm$	02.40D	7.29±	2.24±	88.38±	9.38±
	0~10	0.01C	0.01Aa	0.27A	65.49D	0.03Cb	0.10A	1.80A	1.86B
	10~20	$1.21\pm$	$0.31 \pm$	$11.67 \pm$	$95.18 \pm$	$7.17\pm$	$1.02 \pm$	$45.37\pm$	$53.61 \pm$
		0.04C	0.01Aa	0.74A	2.36D	0.03Cb	0.06A	1.65A	1.71B
	20 20	1 000	$0.45 \pm$	$11.50\pm$	00.150	$7.39\pm$	$2.2\pm$	$97.80 \pm$	$O \perp OD$
	20~30	1.09C	0.12Aa	0.35A	80.15D	0.04Cb	0.18A	0.18A	$0\pm0B$
	坡上	敗位 度/cm 0~10 坡下 10~20 20~30 0~10 坡中 10~20 20~30 0~10 坡上 10~20 20~30 0~10	吸位 度/cm (g・kg⁻¹) 0~10 2.15± 0.01A 地下 10~20 1.36± 0.03A 20~30 1.14± 0.02A 0~10 4.46± 0.01A 4.40± 0.06A 0.06A 20~30 4.25± 0.05A 0~10 3.47± 0.07A 3.58± 0.04A 0.04A 20~30 3.16± 0.09A 0~10 1.26± 0.01C 坡下 10~20 地下 10~20 1.21± 0.04C		b b b b b b b b b b	beta $beta$	$bbox{wb} = 10 \sim 20$ $bbox{w$	b b b b b b b b b b	接位 $\frac{\pm E/R}{E/cm}$ $\frac{E/R}{(g^*kg^{-1})}$

1.4-	\rightarrow
451	#

续表										
坡向	坡位	土层深度/ cm	全氮/ (g•kg ⁻¹)	全磷/ (g•kg ⁻¹)	速效磷/ (mg•kg ⁻¹)	碱解氮/ (mg•kg ⁻¹)	рН	黏粒/%	粉粒/%	砂粒/%
		0~10	0.73± 0.01C	0.32± 0.01Ab	9.36± 0.06A	55.11± 2.36D	7.49± 0.02Cab	3.05± 0.13A	91.65± 2.06A	5.30± 2.19B
	坡中	10~20	0.55± 0.03C	0.27± 0.01Ab	10.29± 1.12A	38.41± 2.36D	7.21± 0.02Cab	0.59± 0.02A	98.55± 0.53A	0.86± 0.55B
		20~30	0.52± 0.01C	0.25± 0.01Ab	8.11± 0.33A	36.74D	7.59± 0.03Cab	0A	5.18± 0.18A	94.82± 0.18B
阳坡		0~10	0.96C	0.36Ab	10.88± 0.74A	71.80± 2.36D	7.17± 0.04Ca	1.14± 0.01A	94.28± 0.83A	4.58± 0.84B
	坡上	10~20	0.77± 0.01C	0.28± 0.07Ab	14.55± 0.06A	65.12± 2.36D	7.21± 0.04Ca	5.22± 0.11A	75.25± 1.31A	19.53± 1.36B
		20~30	0.63± 0.03C	0.21± 0.01Ab	10.52± 0.06A	45.09± 2.36D	7.42± 0.03Ca	2.58± 0.24A	82.38± 0.63A	15.04± 0.86B
		0~10	2.70± 0.05B	0.49Ba	8.24± 0.39B	200.38± 18.89B	7.68± 0.01Bb	3.14± 0.13AB	83.87± 0.58AB	12.99± 0.71AB
	坡下	10~20	1.44± 0.11B	0.32± 0.01Ba	5.75± 0.14B	125.24± 16.53B	8.01± 0.04Bb	1.82± 0.06AB	75.63± 0.73AB	22.55± 0.78AB
		20~30	1.66B	0.39± 0.01Ba	5.70± 1.06B	106.87± 4.72B	7.59± 0.02Bb	0.46± 0.02AB	74.15± 2.10AB	25.39± 2.12AB
		0~10	2.50B	0.22± 0.01Bb	8.58± 0.32B	183.68± 4.72B	7.32± 0.01Bab	0AB	18.57± 0.36AB	81.43± 0.36AB
半阴坡	坡中	10~20	$2.61 \pm 0.01 B$	0.19Bb	$7.65 \pm 2.26 B$	183.68± 4.72B	7.40± 0.02Bab	$1.27 \pm \\ 0.22 \mathrm{AB}$	47.84± 1.36AB	50.89± 1.57AB
		20~30	2.50± 0.01B	0.2Bb	6.75± 0.07B	173.66± 4.72B	7.31± 0.02Bab	0AB	2.49± 0.31AB	97.51± 0.31AB
		0~10	2.09± 0.02B	0.2Bb	6.53± 0.88B	140.27± 9.45B	7.33± 0.02Ba	2.12± 0.23AB	62.88± 1.30AB	35.00± 1.52AB
	坡上	10~20	$2.42 \pm 0.02 B$	0.23Bb	8.38± 0.39B	161.98± 2.36B	7.51± 0.02Ba	3.38± 0.20AB	86.48± 1.05AB	10.14± 1.19AB
		20~30	$2.97 \pm 0.02B$	0.27Bb	7.78± 0.39B	218.75± 2.36B	$7.49 \pm 0.01 \mathrm{Ba}$	0.82± 0.19AB	$80.57 \pm 3.28 \text{AB}$	18.61± 3.46AB
		0~10	4.30± 0.03B	0.24Aa	10.33± 0.74B	268.85± 16.53C	7.70± 0.01Ab	3.24± 0.10A	79.67± 1.24AB	17.09± 1.34AB
	坡下	10~20	$2.57 \pm 0.03B$	0.16Aa	$6.25 \pm 0.35 B$	175.33± 11.81C	7.69± 0.02Ab	0.92± 0.066 A	38.08± 0.57AB	61.00± 0.56AB
		20~30	$2.89 \pm 0.11B$	0.14Aa	8.60± 0.57B	205.39± 2.36C	7.83± 0.02Ab	0.94± 0.142 A	98.32± 0.58AB	0.74± 0.44AB
半阳坡	坡中	0~10	2.08± 0.01B	0.21± 0.01Ab	7.60± 0.99B	150.29C	7.60± 0.02Aab	0A	5.66± 0.16AB	94.34± 0.16AB
		10~20	$0.56 \pm 0.02 B$	0.08Ab	$6.18 \pm 0.25 B$	45.09± 2.36C	7.65± 0.01Aab	2.89± 0.23A	$84.26 \pm 6.28 \text{AB}$	12.85± 6.51AB
		20~30	0.49± 0.03B	0.1Ab	4.75± 0.85B	36.74± 4.72C	7.82± 0.01Aab	0A	3.38± 0.29AB	96.62± 0.29AB
		0~10	0.98B	0.14Ab	$5.65 \pm 0.64 \mathrm{B}$	78.48± 2.36C	7.52± 0.02Aa	3.45± 0.08A	95.93± 0.45AB	0.62± 0.53AB
	坡上	10~20	$0.96 \pm 0.01 \mathrm{B}$	0.12Ab	$5.00 \pm 0.07 B$	73.47± 4.72C	7.56± 0.02Aa	3.80± 0.13A	91.38± 1.23AB	4.82± 1.35AB
		20~30	0.96± 0.06B	0.12Ab	$5.58 \pm 0.04 B$	63.45± 4.72C	7.53± 0.02Aa	$\begin{array}{c} 0.27 \pm \\ 0.16 \mathrm{A} \end{array}$	72.95± 1.36AB	26.78± 1.48AB

注:不同大写字母表示各土壤理化性质指标在不同坡向存在显著差异(p<0.05);不同小写字母表示各土壤理化性质指标在不同坡位存在显著差异(p<0.05)。下同。

1.3 测定方法

试验于2024年7—9月在中国地质调查局昆明自然资源综合调查中心开展,土壤有机碳采用重铬酸钾外加热法测定;土壤可溶性有机碳(DOC)采用去离子水浸提后利用总有机碳分析仪(TOC-VCPH, Shimadzu, Kyoto, Japan)测定;易氧化有机碳(EOC)采用高锰酸钾氧化法测定;土壤颗粒有机碳(POC)采用六偏磷酸钠分散法测定,并过53μm筛,筛上为颗粒有机碳,筛下为矿质结合有机碳(MAOC),并分析有机碳质量分数。

土壤粒径组成采用激光粒度仪(Microtrac S3500)测定,土壤质地划分参考美国制;土壤pH由PHS-320高精度智能酸度计测定(水土比为2.5:1); 土壤全氮(TN)采用凯氏法消煮一全自动定氮仪测定;全磷(TP)采用电感耦合等离子体发射光谱仪测定;碱解氮(AN)采用碱解扩散吸收法测定;速效磷(AP)采用碳酸氢钠浸提一钼蓝比色法测定。

1.4 数据分析

以矿质结合有机碳与有机碳的比值来表征土壤

有机碳稳定性(CSI),计算公式[14-15]为:

$$CSI = \frac{MAOC}{SOC} \times 100\%$$
 (1)

式中:MAOC为土壤矿质结合有机碳,g/kg;SOC为土壤有机碳,g/kg。

本研究对所有数据选择单因素方差分析和最小差异性显著进行多重比较,采用 Excel 2019 对数据进行整理与前处理, SPSS 26.0 软件对数据进行统计分析, Origin 2022 软件进行绘图, Canoca 5.0 软件进行冗余分析, R 4.4.2 进行 Mantel 分析。

2 结果与分析

2.1 土壤有机碳的分布特征

坡向、坡位、土层深度、坡向和坡位、坡向和土层深度、坡位和土层深度及三者间的交互作用对土壤有机碳有显著影响(p<0.05)(表3)。土壤有机碳(SOC)随土层深度的增加逐渐降低。在不同坡向条件下,阴坡的土壤SOC最高,为11.37~34.74 g/kg,显著高于其他坡向(p<0.05)。相较于半阴坡、半阳坡和阳坡,阴坡的SOC分别增加55%、138%和292%。

表 3 坡向、坡位和土层深度对土壤有机碳组分及稳定性影响的三因素方差分析

Table 3 Three-way ANOVA of slope aspect, position, and soil layer effects on soil organic carbon (SOC) fractions and stability

因子	土壤有机碳		有机碳稳定性				
囚丁	工張有机峽	可溶性有机碳	易氧化有机碳	颗粒有机碳	矿质结合有机碳	有70.0% 亿化注	
坡向	$4\ 497.872^*$	481.441*	468.018	4 848.885*	5 223.023*	75.309*	
坡位	$1\ 530.934^*$	106.069^*	783.884	$3\ 254.119^*$	1 032.886*	20.716^{*}	
土层深度	$1\ 634.213^*$	13.928^*	31.114	$2\ 016.533^*$	$1.780.529^*$	11.518^{*}	
坡向×坡位	47.032^{*}	22.753^{*}	45.008	65.629^{*}	49.313^{*}	0.388	
坡向×土层深度	146.149^{*}	12.473^{*}	33.859	157.096^*	180.431*	0.141	
坡位×土层深度	22.159^{*}	1.586	21.958	30.685*	20.143^{*}	0.032	
坡向×坡位×土层深度	25.274^{*}	1.320	13.001	42.329^{*}	21.460*	0.134	

注:*表示p<0.05。

土壤 SOC 在不同坡位上的分布呈一定梯度变化, 其中坡下区域的 SOC 最高,为(17.29±9.72)g/kg,其 次为坡中,为 (13.42 ± 7.59) g/kg,坡上区域最低,为 (9.73 ± 5.66) g/kg(图1)。

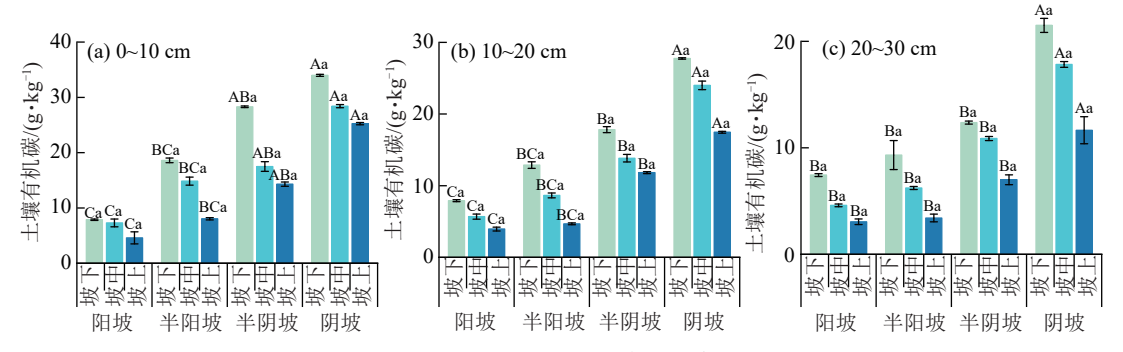


图1 不同坡向和坡位对土壤有机碳的影响

Fig. 1 Effects of slope aspect and position on SOC content

2.2 土壤有机碳组分的空间变化

坡向、坡位、土层深度及其两两交互作用和三 者的交互作用均对土壤 EOC、POC 和 MAOC 质量 分数产生显著影响(p<0.05),而对土壤 DOC 质量 分数具有显著影响的是坡向、坡位、土层深度、坡向和坡位及坡向和土层深度的交互作用(p<0.05)(图 2)。土壤中各组分有机碳(POC、EOC、MAOC、DOC)质量分数随坡向由阳坡向阴坡转变

表现出逐渐增加趋势。阴坡土壤颗粒有机碳(POC)质量分数为4.57~14.21 g/kg,分别是半阴坡、半阳坡和阳坡的1.43、2.10、3.00倍;易氧化有机碳(EOC)质量分数为2.19~3.62 g/kg,分别是半阴坡、半阳坡和阳坡的1.14、1.55、1.29倍;矿物结合有

机碳(MAOC)质量分数为(13.54 ± 4.09)g/kg,是半阴坡的1.65倍、半阳坡的2.66倍和阳坡的5.13倍;可溶性有机碳(DOC)质量分数为 $0.11\sim0.37$ g/kg,相较于半阴坡、半阳坡和阳坡分别增加118%、206%和311%。

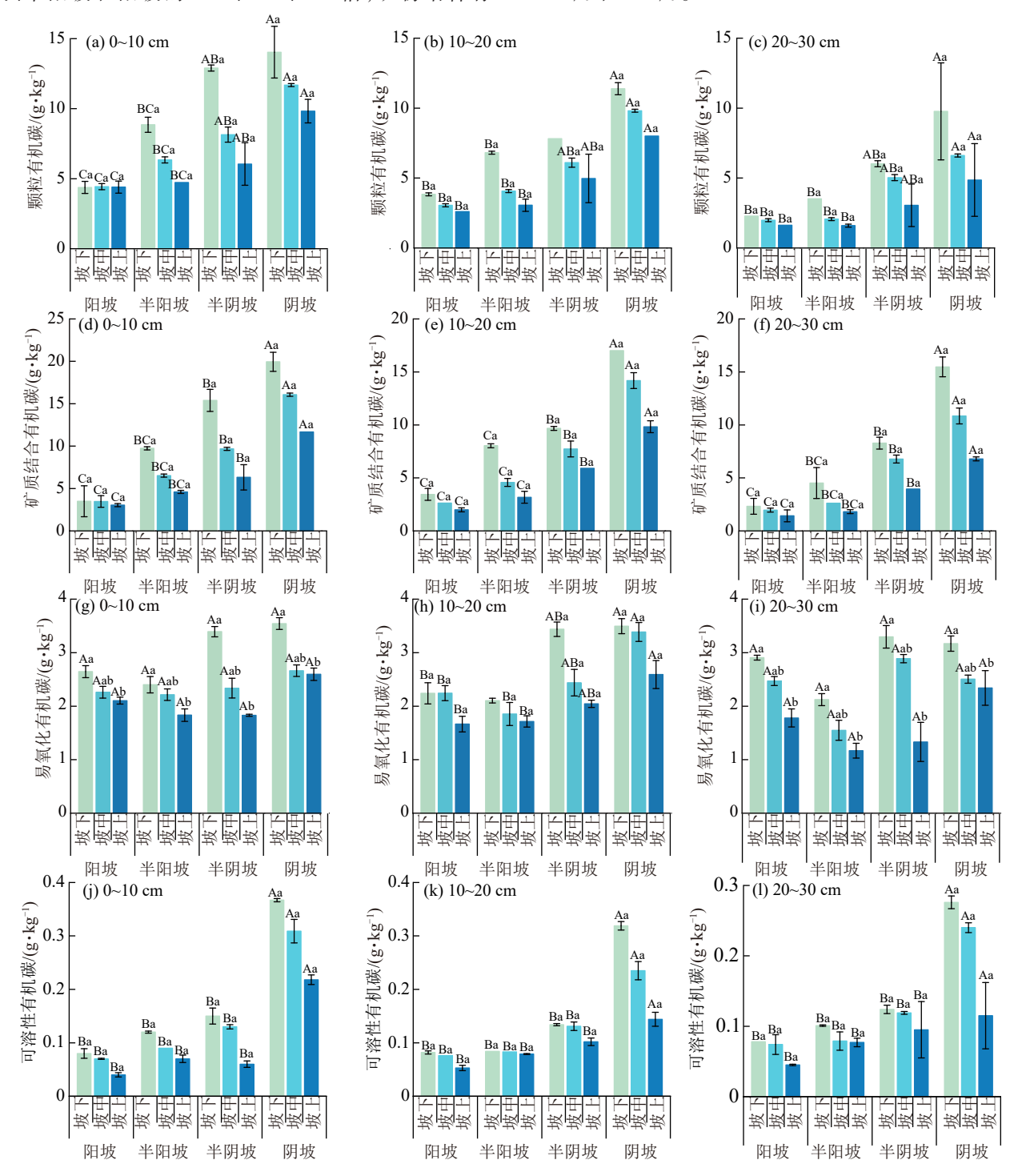


图 2 不同坡向和坡位对土壤有机碳组分的影响

Fig. 2 Effects of slope aspect and position on SOC fractions

在坡位梯度上,各组分有机碳随坡位升高逐渐降低。坡下区域的POC质量分数为 (7.98 ± 3.84) g/kg,显著高于坡中和坡上(p<0.05),分别增加 34%和 97%;坡下EOC质量分数为 (2.90 ± 0.53) g/kg,相较于

坡中和坡上分别增加 21% 和 52%;坡下 MAOC 质量分数为 (9.15 ± 4.39) g/kg,分别高于坡中和坡上的 25% 和 65%;坡下 DOC 质量分数为 (0.15 ± 0.11) g/kg,较坡中和坡上分别增加 17% 和 76%。

2.3 土壤有机碳稳定性变化特征

坡向和坡位显著影响土壤有机碳稳定性指数 (CSI)(p<0.05)(图3)。在不同坡向条件下,阴坡土壤有机碳稳定性最高,为54.3%~62.1%,相比于半阴坡、半阳坡和阳坡,分别增加6%、11%和28%,且

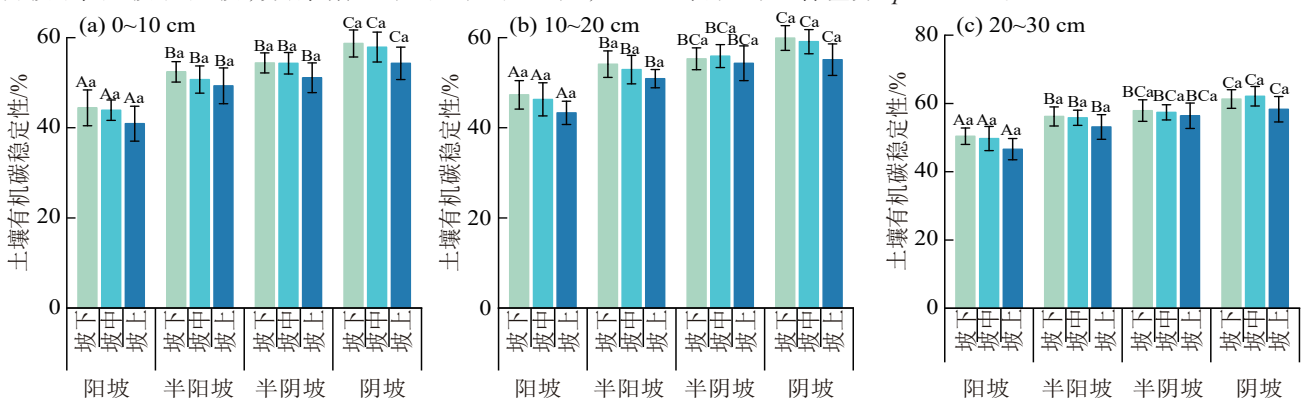


图 3 不同坡向和坡位对土壤有机碳稳定性的影响

Fig. 3 Effects of slope aspect and position on SOC stability

2.4 土壤有机碳组分及稳定性的影响因素

冗余分析结果(图4)表明,RDA1和RDA2轴分别能解释土壤有机碳组分的67.49%和5.79%,总解释度为73.28%。9个环境因子中碱解氮、碳氮比和pH对土壤有机碳各组分及其稳定性贡献率高,其贡献率分别为40.6%、42.7%、7.5%。其中土壤TN、AN、C:N和砂粒与土壤有机碳组分及稳定性存在显著正相关;土壤黏粒、AP与土壤SOC、POC、DOC、MAOC及CSI存在显著负相关;土壤TP与EOC存在显著正相关,与CSI存在显著负相关;土壤pH与土壤EOC存在显著负相关,与CSI呈显著正相关。

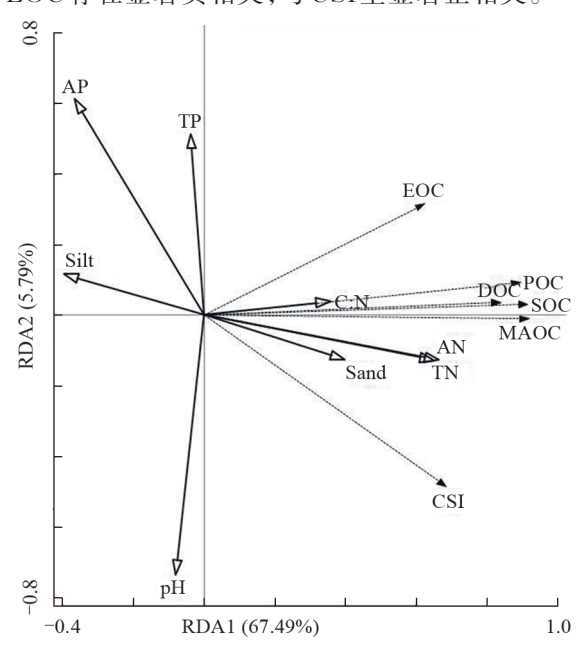


图 4 土壤有机碳组分及稳定性与影响因素的冗余分析

Fig. 4 Redundancy analysis between SOC fractions, stability, and influencing factors

Mantel 分析结果(图 5)表明,影响土壤SOC、POC、DOC和MAOC的主要环境因子为坡向、植被盖度、土壤全氮和碱解氮;而影响土壤EOC的环境因子为坡向、土壤全氮和全磷。相较于土壤POC、DOC与EOC,土壤SOC和MAOC呈强正相关(r值 0.5以上),表明二者受到环境因子的影响较大。

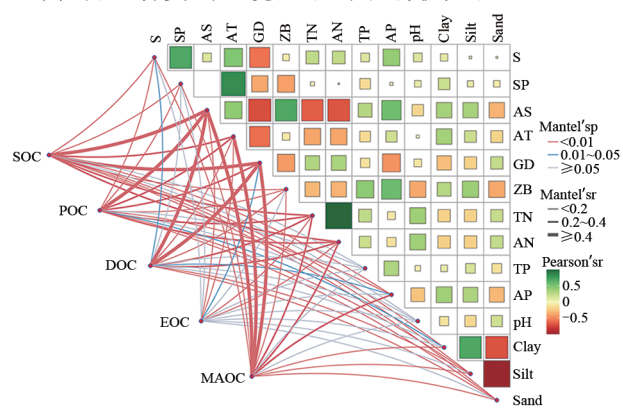
不同坡向间土壤有机碳稳定性差异显著(p<0.05)。

 $(38.1\%\sim62.1\%)>$ 坡中 $(36.9\%\sim59.9\%)>$ 坡上

(37.6%~58.7%)。不同坡位的土壤有机碳稳定性未

表现出显著差异(p>0.05)。

不同坡位条件下,土壤 CSI 依次为坡下



注:S为坡度;SP为坡位;AS为坡向;AT为海拔;GD为植被盖度;ZB为植被类型。

图 5 土壤有机碳组分影响因子的 Mantel 分析 Fig. 5 Mantel test for drivers of SOC fractions

3 讨论

3.1 不同坡向和坡位对土壤有机碳的影响

坡向作为重要的地形因子显著影响土壤有机质的空间分布及腐殖化和矿化过程。不同坡向因受太阳辐射强度和持续时间的差异,导致水热分配模式显著变化^[16],进而影响土壤SOC质量分数。本研究发现,干旱河谷区土壤SOC呈阴坡>半阴坡>半阳坡>阳坡的分布格局。表明阴坡的SOC积累速率高于其他坡向,且SOC质量分数显著高于阳坡、半阳坡和半阴

坡。是由于阴坡土壤氮高于其他坡向,土壤氮素与 土壤 SOC 呈显著正协同变化(p<0.05),与碳氮循环 的耦合作用有关,较高的土壤氮促进微生物对有机 质的分解,从而增加SOC质量分数[17]。土壤氮通过 增强植被生产力,提高凋落物输入量,直接提升土壤 SOC的积累。有研究[18]发现,土壤氮素与有机质通 过氨基一羧基反应形成稳定的有机矿物复合体,抑制 SOC 矿化。同时,阴坡的砂粒质量分数较高,促进微 团聚体和颗粒结合形成大团聚体,使得土壤SOC通过 闭蓄在团聚体中形成物理隔绝,降低微生物对其的矿 化分解速率,减少土壤 SOC 损失[19]。本研究发现,干 旱河谷阴坡相较阳坡土壤含水率高,其植被长势好、 生物量多,进而增加对土壤有机碳的输入量;阳坡所 接受的太阳辐射强度大,辐射时间长,地表温度偏高, 增强微生物活性,加快有机质的矿化速率,不利于有 机碳的积累[6]。本研究发现,干旱河谷土壤有机碳整 体偏高,可能是由于干旱河谷较低的降水量抑制土壤 呼吸速率,有利于土壤有机碳的积累[20]。

山地条件下,坡位变化导致环境因子呈阶梯性变 化,进而引起土壤 SOC 的分布差异[21]。本研究显示, 干旱河谷区土壤 SOC 均随坡位的升高而逐渐降低, 与陈志林等[22]在青海、周鑫等[23]在张广才岭的研究 结果均一致,坡下土壤有机碳质量分数高的原因一方 面是由于坡面侵蚀造成的富碳土壤物质的沉积:另一 方面,与坡上相比,坡下林分生产力高,凋落物数量较 大,从来源上提高有机碳的输入,促使土壤微生物和 土壤动物更加活跃,加快林下凋落物的分解,进而造 成坡下与坡上有机碳积累的差异[24]。不同坡位土壤 理化性质存在差异,影响土壤SOC及其组分质量分 数。随着土壤体积质量增大,土壤渗透率降低,土壤 酶活性降低,不利于SOC的形成;土壤氮磷是土壤物 质循环的核心,对林木生长和土壤微生物有重要作 用,而植物根系分泌物可以促进团聚体的形成,增强 对SOC的物理保护,有利于SOC的积累[22]。

3.2 不同坡向和坡位对土壤有机碳组分及其稳定性 的影响

土壤POC和DOC在不同坡向之间的分布趋势与土壤SOC一致,而土壤EOC则表现为阴坡和半阴坡显著大于半阳坡和阳坡。是由于阴坡和半阴坡相比阳坡和半阳坡全氮更高,从而使得凋落物和植物中所含木质素被迅速降解,阴坡和半阴坡土壤EOC质量分数明显高于阳坡和半阳坡^[25]。土壤MAOC呈阴坡>半阴坡>半阳坡>阳坡,是因为土壤MAOC在很大程度上取决于土壤SOC,使得阴坡土壤MAOC高于其他坡向^[26]。

在不同坡位条件下,土壤EOC、POC和DOC均呈坡下>坡中>坡上。一方面由于坡上接受光照多,蒸发量大,有利于有机质的分解,使得SOC组分质量分数小于坡下;另一方面,坡上表层土壤在雨水和径流的冲刷下沿坡面向下迁移,使得底层土壤裸露,易被微生物分解矿化,导致坡上土壤SOC质量分数降低,坡下SOC质量分数提高^[27]。土壤MAOC的分布为坡下>坡中>坡上,一方面与不同坡位间微生物量的差异有关;另一方面,是由于土壤侵蚀导致坡上和坡中的植物残体被冲刷至坡下,使坡下MAOC质量分数较高^[28]。

土壤有机碳稳定性主要受土壤理化性质、外部 环境条件及土壤微生物活性强弱的影响。目前对 土壤有机碳稳定机制观点暂未统一,但都认可矿质 结合有机碳在土壤有机碳稳定方面发挥的重要作 用[14]。本研究结果表明,阳坡土壤有机碳稳定性显 著低于其他坡向(p<0.05),而坡位梯度上土壤有机 碳稳定性表现为坡下>坡中>坡上。阳坡土壤 MAOC占SOC比例相较于其他坡向最低,而颗粒 有机碳占比则更高,说明阳坡土壤碳库最不稳定 性;随着坡位上升,土壤有机碳稳定性呈下降趋势, 是由于坡上受到的土壤侵蚀强度大,土壤结构稳定 性差,重组有机碳占比逐渐降低,活性有机碳占比 逐渐上升,进而减弱土壤有机碳稳定性[26]。阴坡和 坡下土壤 DOC 相比其他坡向和坡位高,其质量分 数升高导致易分解有机物增加,微生物碳利用性提 高,使得转化为微生物残体碳质量分数升高,形成 矿质结合有机碳的比例增加,提高土壤有机碳稳 定性[29]。

4 结论

1)干旱河谷区坡向和坡位显著影响土壤 SOC 及 其组分(DOC、EOC、POC、MAOC)质量分数,土壤 SOC 及其组分质量分数随着坡向由阴坡向阳坡转变 均呈降低趋势,且在不同坡向表现出显著性差异。土 壤 SOC 及其组分质量分数随坡位上升呈下降趋势。

2)干旱河谷区坡向和坡位对土壤CSI影响显著, 阴坡土壤CSI最高,总体表现为阴坡>半阴坡>半阳 坡>阳坡,阴坡与阳坡和半阳坡之间存在显著差异。 在坡位条件下土壤CSI随着坡位的上升呈下降趋势, 但不同坡位间无显著差异。

3)相关分析表明,土壤TN、AN和粒径组成显著影响土壤SOC及其组分质量分数,土壤TN、MAOC和DOC显著影响土壤CSI。冗余分析结果表明,土壤理化性质解释土壤有机碳各组分及其稳定性变化的75.92%,其中AN、C:N和黏粒质量分数是主要影响因子。

参考文献:

- [1] 冼海英,肖波,姚小萌,等.黄土高原生物结皮覆盖下表层土壤有机碳组分对模拟气候暖湿化的响应[J].应用生态学报,2025,36(1):132-140.
 - XIAN H Y, XIAO B, YAO X M, et al. Responses of organic carbon fractions in biocrust-covered surface soil to simulated warming and wetting on the Loess Plateau, northwest China[J]. Chinese Journal of Applied Ecology, 2025, 36(1):132-140.
- [2] 吴彬,徐晶晶,成艳红,等.石灰施用对酸性土壤矿物结合有机碳形成的影响[J].中国农学通报,2021,37(21):98-105. WU B, XU J J, CHENG Y H, et al. Effects of liming on formation of mineral-associated organic carbon in acidic soil [J]. Chinese Agricultural Science Bulletin, 2021,37(21):98-105.
- [3] WANG B R, LIANG C, YAO H J, et al. The accumulation of microbial necromass carbon from litter to mineral soil and its contribution to soil organic carbon sequestration[J].Catena0,2021,207:e105622.
- [4] 宋瑞朋,杨起帆,郑智恒,等.3种林下植被类型对杉木人工林土壤有机碳及其组分特征的影响[J].生态环境学报,2022,31(12):2283-2291.

 SONG R P, YANG Q F, ZHENG Z H, et al. Effects of three understory vegetation types on soil organic carbon and its components in cunninghamia lanceolata plantation [J]. Ecology and Environmental Sciences,
- [5] 王珍,常顺利,王冠正,等.天山中段北坡森林土壤有机 碳库稳定性组分沿海拔的分异规律[J].生态学报, 2023,43(18):7390-7402. WANG Z, CHANG S L, WANG G Z, et al. Altitudinal

2022,31(12):2283-2291.

- distribution of the forest soil organic carbon fractions on the northern slope of the middle Tianshan Mountains [J]. Acta Ecologica Sinica, 2023, 43(18): 7390-7402.
- [6] 张凯,徐慧敏,李秧秧.坡向与植物群落对水蚀风蚀交错带土壤有机碳氮的影响[J].水土保持学报,2018,32(6):156-165.
 - ZHANG K, XU H M, LI Y Y. Effects of slope aspects and plant community types on soil organic carbon and nitrogen in the crisscross area of wind-water erosion[J]. Journal of Soil and Water Conservation, 2018, 32(6):156-165.
- [7] 王艳丹,何光熊,宋子波,等.酸角人工林不同坡位土壤有机碳及其活性组分的变化[J].土壤,2020,52(6):1256-1262. WANG Y D, HE G X, SONG Z B, et al. Study on soil organic carbon and its active fractions at different slope sites of tamarindus indica plantation [J]. Soils, 2020, 52(6):1256-1262.
- [8] 卫玮,党坤良.秦岭南坡林地土壤有机碳密度空间分异特征[J].林业科学,2019,55(5):11-19.

- WEI W, DANG K L. Spatial variation of the density of soil organic carbon in forest land on the southern slope of Qinling Mountains [J]. Scientia Silvae Sinicae, 2019, 55(5):11-19.
- [9] 唐朋辉,党坤良,王连贺,等.秦岭南坡红桦林土壤有机碳密度影响因素[J].生态学报,2016,36(4):1030-1039. TANG P H, DANG K L, WANG L H, et al. Factors affecting soil organic carbon density in Betula albo-sinensis forests on the southern slope of the Qinling Mountains[J]. Acta Ecologica Sinica,2016,36(4):1030-1039.
- [10] 范建容,杨超,包维楷,等.西南地区干旱河谷分布范围及分区统计分析[J].山地学报,2020,38(2):303-313. FAN JR, YANG C, BAO W K, et al. Distribution scope and district statistical analysis of dry valleys in southwest China[J].Mountain Research,2020,38(2):303-313.
- [11] LV C, SABA T, WANG JY, et al. Conversion effects of farmland to Zanthoxylum bungeanum plantations on soil organic carbon fractions in the arid valley of the upper reaches of the Yangtze River, China [J]. CATENA, 2022,217:e106523.
- [12] 常博然,陈茹岚,王彪,等.藏东南折拉山不同林分类型 土壤有机碳及其组分分布特征[J].生态环境学报, 2024,33(10):1495-1505. CHANG B R, CHEN R L, WANG B, et al. Characteristics of soil organic carbon and its component distribution in different forest stand types on mount Zola in southeastern Tibet[J].Ecology and Environmental Sciences, 2024, 33(10):1495-1505.
- [13] BRUBAKER S C, JONES A J, LEWIS D T, et al. Soil properties associated with landscape position [J]. Soil Science Society of America Journal, 1993, 57(1):235-239.
- [14] LAVALLEE JM, SOONG JL, COTRUFO MF. Conceptualizing soil organic matter into particulate and mineral-associated forms to address global change in the 21st century[J]. Global Change Biology, 2020, 26(1):261-273.
- [15] 姜永孟,苏浩浩,陆宇明,等.针阔混交措施对红壤侵蚀 区马尾松林土壤有机碳稳定性的影响[J].水土保持学报,2024,38(5):323-331.
 - JIANG Y M, SU H H, LU Y M, et al. Effect of coniferous and broadleaf mixture measures on soil organic carbon stability of pinus massoniana plantation in red soil erosion area[J]. Journal of Soil and Water Conservation, 2024, 38(5): 323-331.
- [16] 崔梦莹,周荣磊,郑诚,等.黄土丘陵区草地地上生物量及土壤水分养分对微地形变化的响应[J].水土保持研究,2024,31(1):18-26.
 - CUI M Y, ZHOU R L, ZHENG C, et al. Responses of aboveground biomass and soil moisture and nutrients to microtopographic changes in grassland in the Loess Hilly Region [J]. Research of Soil and Water Conservation, 2024, 31(1); 18-26.

- [17] 毛馨月,沈育伊,褚俊智,等.模拟氮沉降对中亚热带桉树人工林土壤有机碳组分及碳库管理指数的影响[J]. 环境科学,2025,46(2):1032-1045.
 - MAO X Y, SHEN Y Y, CHU J Z, et al. Effects of simulated nitrogen deposition on soil organic carbon fractions and carbon pool management indicators in mid-subtropical eucalyptus plantations [J]. Environmental Science, 2025, 46(2):1032-1045.
- [18] 李瑾璞,于秀波,夏少霞,等.白洋淀湿地区土壤有机碳密度及储量的空间分布特征[J].生态学报,2020,40(24):8928-8935.
 - LI J P, YU X B, XIA S X, et al. The spatial distribution of soil organic carbon density and carbon storage in Baiyangdian wetland [J]. Acta Ecologica Sinica, 2020, 40(24):8928-8935.
- [19] 李冰,庞丹波,陈林,等. 贺兰山不同海拔土壤团聚体有机碳稳定性[J]. 生态学报,2024,44(24):11241-11253. LIB, PANG DB, CHEN L, et al. Stability of organic carbon in soil aggregates at different elevations in Helan Mountain [J]. Acta Ecologica Sinica,2024,44(24):11241-11253.
- [20] 刘尉,王丽华,符饶,等.增加降水对干旱河谷区云南松人工 林土壤呼吸的影响[J].生态学报,2017,37(5):1391-1400. LIU W, WANG L H, FU R, et al. Effects of precipitation increase on soil respiration of a Pinus yunnanensis plantation in a dry river valley area [J]. Acta Ecologica Sinica, 2017,37(5):1391-1400.
- [21] 彭晓滢,郭赓,蒯杰,等.坡位对杉木人工林土壤有机碳及其活性组分特征的影响[J].生态与农村环境学报,2024,40(10):1319-1327.
 PENG X Y, GUO G, KUAI J, et al. Effects of slope
 - PENG X Y, GUO G, KUAI J, et al. Effects of slope positions on soil organic carbon and its labile fractions in Chinese fir plantations [J]. Journal of Ecology and Rural Environment, 2024, 40(10):1319-1327.
- [22] 陈志林,强浪浪,向安民,等.地形因子对青海祁连圆柏林土壤有机碳空间分布的影响[J].西北林学院学报,2022,37(6):68-74.
 - CHEN Z L, QIANG L L, XIANG A M, et al. Effects of topographical factors on the spatial distribution of soil organic carbon of juniperus przewalskii forest in Qinghai Province [J]. Journal of Northwest Forestry University, 2022, 37(6):68-74.
- [23] 周鑫,姜航,孙金兵,等.地形因子和物理保护对张广才岭次生林土壤有机碳密度的影响[J].北京林业大学学报,2016,38(4):94-106.
 - ZHOU X, JIANG H, SUN J B, et al. Soil organic

- carbon density as affected by topography and physical protection factors in the secondary forest area of Zhangguangcai Mountains, Northeast China [J]. Journal of Beijing Forestry University, 2016, 38(4):94-106.
- [24] 王文虎,王世林,梁国玲,等.坡向和坡位对祁连山高寒灌丛植物群落多样性的影响[J].草业学报,2025,34(1):17-28.
 - WANG W H, WANG S L, LIANG G L, et al. Effects of slope categories of differing aspect and position on plant community diversity in alpine shrubland in the Qilian Mountains [J]. Acta Prataculturae Sinica, 2025, 34(1):17-28.
- [25] 黄斌,王泉泉,李定强,等.南岭山地土壤有机碳及组分海拔梯度变化特征[J].土壤通报,2022,53(2):374-383. HUANG B, WANG Q Q, LI D Q, et al. Variation characteristics of organic carbon and fractions in soils along the altitude gradient in Nanling Mountains [J]. Chinese Journal of Soil Science,2022,53(2):374-383.
- [26] 王紫颖,谷思玉,车延静,等.东北风蚀区不同土地利用方式下土壤有机碳组分及其稳定性[J].应用生态学报,2024,35(7):1815-1824.
 - WANG Z Y, GU S Y, CHE Y J, et al. Soil organic carbon fractions and their stability under different land uses in wind erosion area of Northeast China[J]. Chinese Journal of Applied Ecology, 2024, 35(7):1815-1824.
- [27] 潘蕊蕊,李小雁,胡广荣,等.青海湖流域季节性冻土区 坡面土壤有机碳分布特征及其影响因素[J].生态学报, 2020,40(18):6374-6384.
 - PAN R R, LI X Y, HU G R, et al. Characteristics of soil organic carbon distribution and its controlling factors on hill-slope in seasonal frozen area of Qinghai Lake Basin[J]. Acta Ecologica Sinica, 2020, 40(18): 6374-6384.
- [28] 唐开钊,张君耀,吴聪,等.不同坡位柑橘园土壤团聚体矿物结合态有机碳矿化特征[J].土壤学报,2024,61(6):1639-1652.
 - TANG K Z, ZHANG J Y, WU C, et al. Mineralization characteristics of mineral-associated organic carbon in citrus orchards soil aggregates at different slope positions [J]. Acta Pedologica Sinica, 2024, 61(6):1639-1652.
- [29] 薛志婧,李霄云,焦磊,等.土壤矿质结合态有机碳形成及稳定机制的研究进展[J].水土保持学报,2023,37(5):12-23. XUE Z J, LI X Y, JIAO L, et al. Advance in the formation and stabilization mechanisms of soil mineral-associated organic carbon[J].Journal of Soil and Water Conservation, 2023,37(5):12-23.